

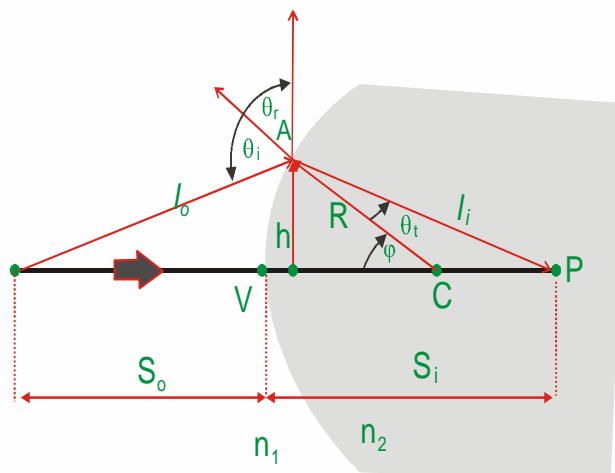
عدسی‌ها:

بی‌تردید پر مصرف‌ترین وسیلهٔ فیزیکی عدسی است و حقیقت این است که ما دنیا را از دریچهٔ

یک جفت از آنها می‌بینیم. تاریخچهٔ عدسی‌ها به شیشه‌های سوزان روزگار باستان برمی‌گردد.

شکل (۱) پرتوهای نوری را نشان می‌دهد که از چشمۀ نقطه‌ای S ، به یک سطح کروی با شعاع R و

به مرکز C برخورد می‌کند نشان می‌دهد.

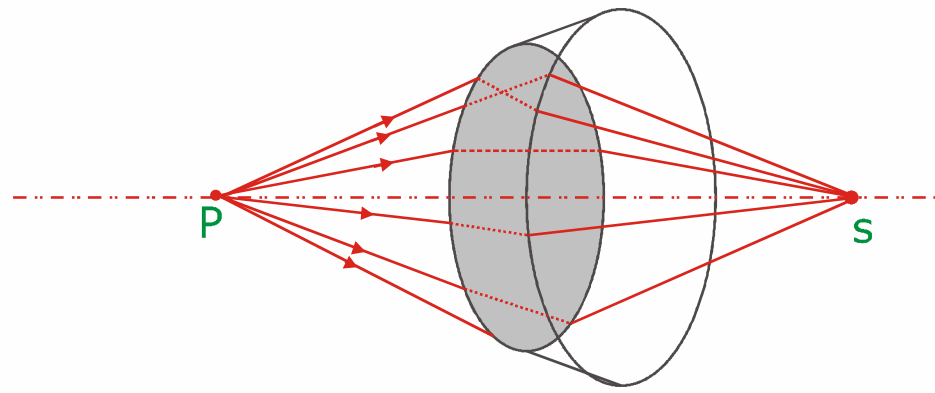


شکل ۱. شکست در یک سطح مشترک کروی

پرتو (\overline{SA}) در سطح مشترک به سوی عمود موضعی ($n_2 > n_1$)، و بنابراین به سوی محور نوری

شکسته خواهد شد. فرض می‌کنیم که این پرتو محور را در نقطه‌ای مثل P قطع کند، همان طور که تمام

پرتوهای فرودی دیگر تحت همین زاویه q_i ، محور را در نقطه P قطع خواهند کرد (شکل ۲)



شکل 2 پرتوهای فرودی با زاویه یکسان

بنابر اصل فرما طول راه نوری ($O.P.L$) ثابت خواهد بود، یعنی مشتق آن نسبت به تغییر مکان

صفراست. در مورد پرتو مورد نظر داریم.

$$(O.P.L) = n_1 \mathbf{l}_o + n_2 \mathbf{l}_i \quad (1)$$

با استفاده از قانون کسینوس‌ها در مثلثهای SAC و ACP همراه با این حقیقت که

با استفاده از قانون کسینوس‌ها در مثلثهای SAC و ACP همراه با این حقیقت که $\cos \varphi = -\cos(180 - \varphi)$

$$\mathbf{l}_o = \left[R^2 + (s_o + R)^2 - 2R(s_o + R)\cos\varphi \right]^{\frac{1}{2}}$$

و

$$\mathbf{l}_i = \left[R^2 + (s_i - R)^2 + 2R(s_i - R)\cos\varphi \right]^{\frac{1}{2}}$$

را می‌توان به صورت زیر بازنویسی کرد:

$$(O.P.L) = n_1 \left[R^2 + (s_0 + R)^2 - 2R(s_0 + R) \cos \varphi \right]^{\frac{1}{2}}$$

$$+ n_2 \left[R^2 + (s_i - R)^2 + 2R(s_i - R) \cos \varphi \right]^{\frac{1}{2}}$$

تمام کمیات موجود در جدول زیر، یعنی s_0 ، s_i و R جز اینها، اعدادی مثبت‌اند و شالوده یک

قرارداد علامتی را تشکیل می‌دهند که به تدریج آشکار می‌شود و ما هر از چندگاه به آن باز خواهیم

گشت (جدول ۱). از آنجا که نقطه A در انتهای یک شعاع ثابت حرکت می‌کند (یعنی، ثابت $\varphi(R=$

متغیر مکانی است و بنابراین با قرار دادن 0 از طریق اصل فرماییم:

$$\frac{n_1 R(s_0 + R) \sin j}{2l_0} - \frac{n_2 R(s_i - R) \sin j}{2l_i} = 0$$

که از آن نتیجه می‌شود:

$$\frac{n_1}{l_0} + \frac{n_2}{l_i} = \frac{1}{R} \left(\frac{n_2 s_i}{l_i} - \frac{n_1 s_0}{l_0} \right) \quad (2)$$

جدول (۱). قرارداد علامتی برای سطوح شکستی‌کروی و عدسی‌های نازک (نور از سمت چپ وارد می‌شود)

سمت چپ V ، علامت +	s_0 , f_0
سمت چپ F_0 ، علامت +	X_0
سمت راست V ، علامت +	s_i , f_i
سمت راست F_i ، علامت +	X_i
اگر سمت راست C باشد ، علامت +	R

رابطه (2)، رابطه‌ای است که باید برای پرتویی که از راه شکست در یک سطح مشترک کروی از S

به P می‌رود، بین پارامترها برقرار باشد. گرچه این عبارت نشانه‌ای از دقت دارد، ولی نسبتاً پیچیده است.

اگر A با تغییر j به موضع جدیدی حرکت داده شود، پرتو جدید، محور نوری را در P قطع نخواهد کرد.

تقریب‌هایی که برای نشان دادن I_i و I_0 به کار می‌روند، و به موجب آن معادله (2) را ساده می‌کنند، در

تمام آنچه در پی می‌آید کاملاً تعیین کننده است. بسط نیلور $\cos j$ و $\sin j$ به صورت زیر می‌باشد:

$$\cos \varphi = 1 - \frac{\varphi^2}{2!} + \frac{\varphi^4}{4!} - \frac{\varphi^6}{6!} + \dots$$

$$\sin \varphi = \varphi - \frac{\varphi^3}{3!} + \frac{\varphi^5}{5!} - \frac{\varphi^7}{7!} + \dots$$

و بنابراین اگر مقادیر کوچک j را در نظر بگیریم، یعنی A به V نزدیک باشد، آنگاه ≈ 1 , $\cos j \approx 1$,

در نتیجه از عبارت‌های مربوط به I_i و I_0 به دست می‌آید: $I_i \approx s_i$ و $I_0 \approx s_0$ با آن تقریب داریم:

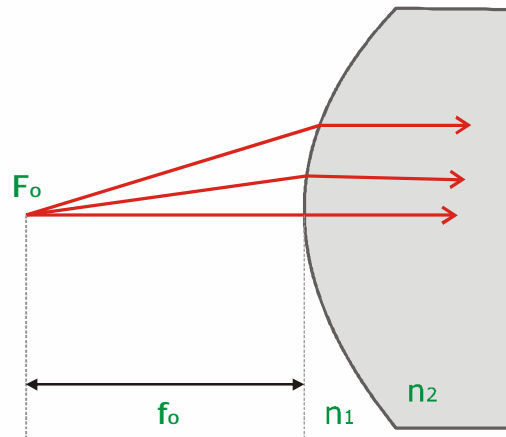
$$\frac{n_1 + n_2}{s_0 + s_i} = \frac{n_2 - n_1}{R} \quad (3)$$

پرتوهایی که نسبت به محور نوری با زوایای کوچک وارد می‌شوند (چنان که j و h به طور

مناسبی کوچک باشند)، پرتوهای پیرا محوری نامیده می‌شوند.

اگر تصویر نقطه F_i در شکل 3 در بی‌نهایت ($s_i = \infty$) تشکیل شود، داریم

$$\frac{n_1 + n_2}{s_0 + \infty} = \frac{n_2 - n_1}{R} \quad (\text{بی‌نهایت})$$



شکل ۳ - پرتوهای موازی که آن سوی یک سطح مشترک کروی منتشر می‌شوند. کانون شیئی

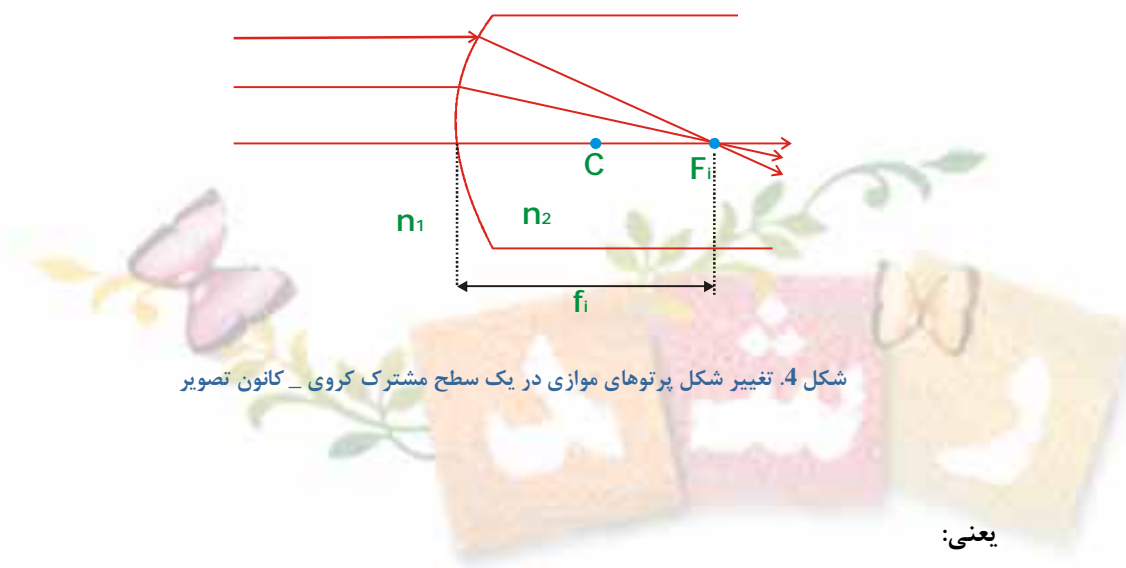
این فاصله شیئی ویژه به عنوان طول کانونی اول یا فاصله کانونی شیئی $s_o = f_o$ تعریف شده

است. بنابراین:

$$f_o = \frac{n_1}{n_2 - n_1} R \quad (4)$$

خود نقطه F_o به کانون شیئی یا کانون اول مشهور است. به همین ترتیب کانون تصویر با کانون

دوم نقطه محوری F_i که به ازای $s_o = \infty$ تصویر در آنجا تشکیل می‌شود.



شکل ۴. تغییر شکل پرتوهای موازی در یک سطح مشترک کروی - کانون تصویر

يعني:

$$\frac{n_1}{\infty} + \frac{n_2}{s_i} = \frac{n_2 - n_1}{R}$$

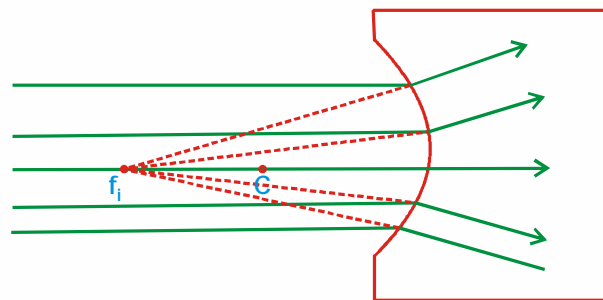
در این حالت خاص، با تعریف فاصله کانونی تصویر با فاصله کانونی دوم f_i مساوی با s_i (شکل ۴)،

داریم

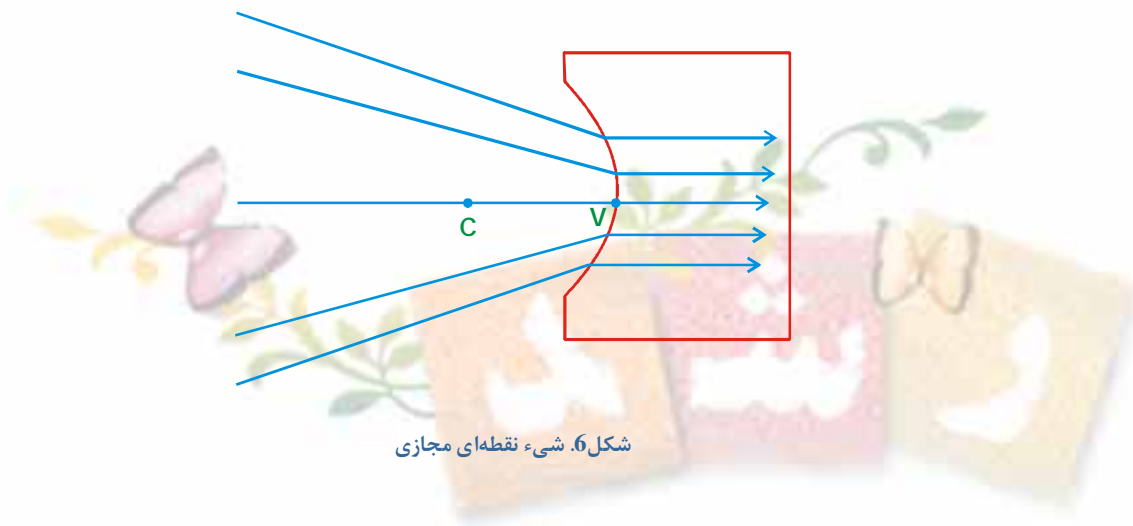
$$f_i = \frac{n_2}{n_2 - n_1} R \quad (5)$$

یادآوری می‌کنیم که یک تصویر هنگامی مجازی بود که پرتوها از آن واگرا می‌شدند (شکل ۵).

به همین ترتیب، یک شیء هنگامی مجازی است که پرتوها به سوی آن همگرا شوند. (شکل ۶).



شکل ۵. تصویر نقطه‌ای مجازی.



شکل ۶. شیء نقطه‌ای مجازی

ملاحظه می‌کنیم که اکنون شیء مجازی در سمت راست رأس است و بنابراین باید s_5 همچون

کمیتی منفی در نظر گرفته شود. به علاوه سطح کاو است و شعاع آن نیز همان‌طور که از معادله (4)

برمی‌آید، منفی خواهد بود زیرا f منفی است. به همین طریق فاصله تصویر مجازی که در سمت چپ V

ظاهر می‌شود منفی است.

از لحاظ معنی سنتی، عدسی عبارت از یک سیستم سوری شامل دو یا چند سطح مشترک

شکستی است که دست کم یکی از آنها خمیده باشد. هنگامی که یک عدسی از یک عنصر تشکیل شده

است، یعنی هنگامی که نقطه دو سطح شکستی دارد، یک عدسی ساده است. وجود بیش از یک عنصر، از

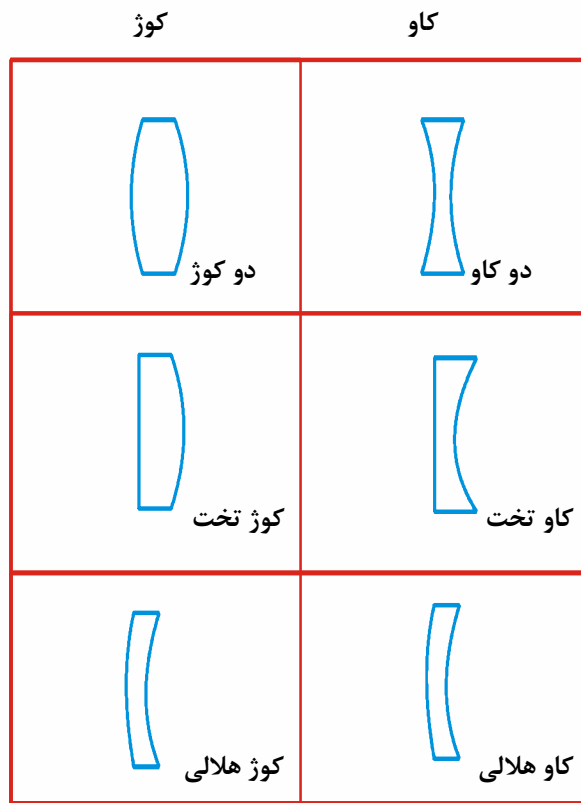
آن یک عدسی مرکب به وجود می‌آورد. عدسی ساده اشکال گوناگونی را که در شکل 7 نشان داده شده

است می‌پذیرد. عدسی‌هایی را که تحت نام‌های گوناگون کوز، همگرا، یا مثبت شناخته شده‌اند در مرکز

کلفت‌ترند و بنابراین تمايل به همگراتر کردن پرتوها دارند. البته فرض می‌شود که ضریب شکست عدسی

بیش از ضریب شکست محیطی است که در آن غوطه‌ور است.





شکل 7. مقاطع عدسی‌های گوناگون ساده کروی مرکزدار.

از سوی دیگر وسط عدسی‌های کاو، واگرا یا عدسی‌های منفی نازکتر است و این عدسی‌ها تمايل

دارند که آن بخش از پرتوهایی که به وسط عدسی برミ خورند. واگراتر کنند. حال می‌خواهیم بدانیم با

چه معادله‌ای می‌توان مکان تصویر را در عدسی‌هایی نازک بدست آورد.

اکنون لحظه‌ای به مبحث قبل که در آن نقاط همیوغ S و P به شکل زیر مشخص می‌شود،

برمی‌گردیم:

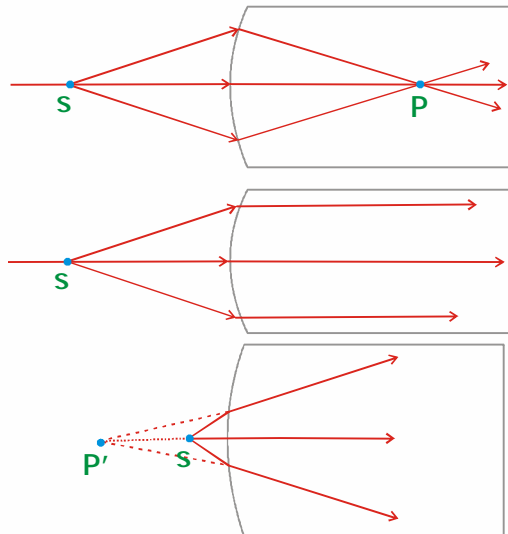
$$\frac{n_1}{s_o} + \frac{n_2}{s_i} = \frac{n_2 - n_1}{R} \quad (3)$$

هنگامی که s_o به ازای مقدار مشخصی $\frac{(n_2 - n_1)}{R}$ بزرگ باشد، s_i نسبتاً کوچک است. هرچه

کاهش یابد s_i از رأس دور می‌شود، یعنی هم θ_i و هم f_o افزایش می‌یابند تا سرانجام

در آن نقطه $\frac{n_L}{s_o} = \frac{(n - n_1)}{R}$ ، به طوری که اگر s_o کوچکتر شود، به ناچار جهت برقراری معادله (3)، $s_i = \infty$ می‌شود (شکل 8)

معادله (3)، $s_i < 0$ منفی خواهد شد. به بیانی دیگر، تصویر مجازی می‌شود (شکل 8)



شکل 8. شکست در یک سطح مشترک کروی

حال می‌خواهیم محل نقاط همیوغ را برای یک عدسی با ضریب شکست n_L که محیطی با ضریب

شکست n_m آن را فراگرفته است، مانند شکل 9 که در آن انتهای دیگری روی قطعه شکل 8 ج

تراشیده ایم، تعیین کنیم. مسلماً این عمومی‌ترین مجموعه شرایط نیست اما معمول‌ترین آنهاست، و حتی

اگر بخواهیم بیشتر متقارع شویم، ساده‌ترین شرایط است.

از معادله 3 می‌دانیم که پرتوهای پیرامحوری که از L واقع در فاصله s_{o1} خارج می‌شوند، به نقطه

P' به فاصله‌ای از V_1 که اکنون ما آن را s_{i1} می‌نامیم و از رابطه زیر به دست می‌آید، برخورد خواهند کرد:

$$\frac{n_m}{s_{o1}} + \frac{n_1}{s_{i1}} = \frac{n_1 - n_m}{R_1} \quad (6)$$

بنابراین تا آنجا که به سطح دوم مربوط می‌شود، این سطح پرتوهایی را که از P' به سویش

می‌آیند، و همچون شیء نقطه‌ای آن در فاصله $s_{\theta 2}$ دورتر عمل می‌کند، «می‌بینید». به علاوه، پرتوهایی

که به آن سطح دوم می‌رسند درون محیطی با ضریب شکست n_I هستند. بنابراین، ضریب شکست

فضای شیء برای سطح مشترک دوم شامل P' ، n_I است. توجه کنید که پرتوهایی که از P' به آن سطح

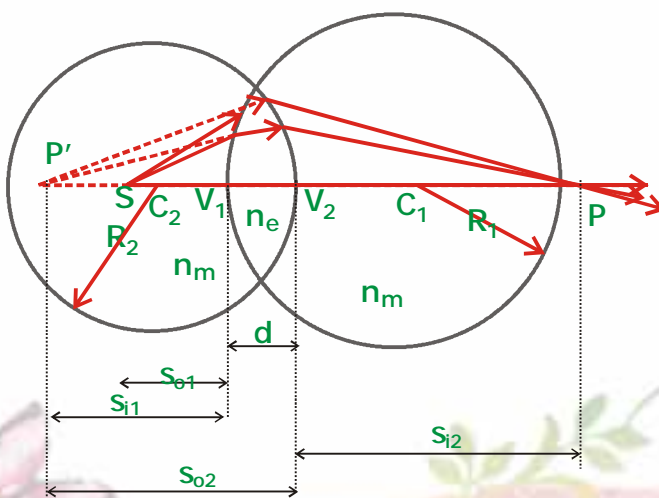
می‌رسند، در واقع خطوط راست هستند. با توجه به این که

$$|s_{\theta 2}| = |s_{\theta 1}| + d$$

و از آنجا که $s_{\theta 2}$ در سمت چپ و بنابراین مثبت است $s_{\theta 2} = |s_{\theta 2}|$ ، در حالی که s_{i1} نیز درسمت

چپ و بنابراین منفی است، یعنی $-s_{i1} = |s_{i1}|$ ، داریم:

$$s_{\theta 2} = -s_{i1} + d \quad (7)$$



شکل ۹. عدسی کروی

بنابراین اگر معادله (3) برای سطح دوم به کاربرده شود، خواهیم داشت:

$$\frac{n_1}{(-s_{i1}+d)} + \frac{n_m}{s_{i2}} = \frac{n_m - n_1}{R_2} \quad (8)$$

در اینجا $n_1 > n_m$ و $R_2 > 0$, بنابراین سمت راست مثبت است. اگر معادلات (6) و (8) را با هم

جمع کنیم نتیجه می‌شود.

$$\frac{n_m}{s_{0l}} + \frac{n_m}{s_{i2}} = (n_1 - n_m) \left(\frac{1}{R_1} - \frac{1}{R_2} \right) + \frac{n_1 d}{(s_{i1} - d) s_{i1}} \quad (9)$$

چنانچه عدسی به اندازه کافی نازک باشد ($d \rightarrow 0$), جمله آخر سمت راست به طور مؤثری

صفراست. برای ساده‌سازی بیشتر، فرض کنید که محیط فراغیرنده هوا باشد، (یعنی $n_m \approx 1$). بنابراین،

معادله بسیار مفید عدسی نازک را خواهیم داشت که غالباً به آن فرمول عدسی‌ساز می‌گویند.

$$\frac{1}{s_0} + \frac{1}{s_i} = (n_1 - 1) \left(\frac{1}{R_1} - \frac{1}{R_2} \right) \quad (10)$$

که در آن می‌نشانیم: $s_0 = s_{i2} = s_i$ و $V_1 = V_2$. هر گاه $d \rightarrow 0$, نقاط V_1 و V_2 یکی می‌شوند به

طوری که s_0 و s_i را می‌توان از هر یک رئوس یا از مرکز عدسی اندازه‌گیری کرد.

درست همانند مورد سطح تک کروی، اگر s_i به بینهایت منتقل شود، فاصله تصویر، همان فاصله

کانونی، f_i ، می‌شود یا به طور نمادی

$$\lim_{s_i \rightarrow \infty} s_i = f_0$$

به همین ترتیب اگر s_i به بینهایت منتقل شود، فاصله جسم، همان فاصله کانونی است

$$\lim_{s_i \rightarrow \infty} s_i = f_0$$

از معادله (10) بدیهی است که در مورد یک عدسی نازک $f_i = f_0$ و در نتیجه شاخص‌های پایین

را کلاً برمی‌داریم. بنابراین:

$$\frac{1}{f} = (n_I - 1) \left(\frac{1}{R_1} - \frac{1}{R_2} \right) \quad (11)$$

$$\frac{1}{f} = \frac{1}{s_0} + \frac{1}{s_i} \quad *$$

متداول است که $s_i \equiv q$ ، $s_0 \equiv P$ قرار دهند لذا،

$$\frac{1}{f} = \frac{1}{P} + \frac{1}{q} \quad (12)$$

که فرمول مشهور گاوی عدسی است. به عنوان مثالی از چگونگی به کارگیری این عبارت‌ها،

فاصله کانونی یک عدسی کوثر تخت را که دارای شعاع خمیدگی 50 mm و ضریب شکست 1/5 است،

در هوا محاسبه می‌کنیم. به فرض اینکه نور از سطح تخت وارد شود ($R_1 = \infty$ و $R_2 = -50$)، آنگاه:

$$\frac{1}{f} = (1/5 - 1) \left(\frac{1}{\infty} - \frac{1}{-50} \right)$$

در حالی که اگر نور به سطح خمیده برسد: ($R_2 = \infty$ ، $R_1 = +50$) آنگاه

$$\frac{1}{f} = (1/5 - 1) = \left(\frac{1}{+50} - \frac{1}{\infty} \right)$$

و در هر حال $f = 100$ m. اگر شیء به طور متناظر در فواصل 150، 200، 600 و 50 از

عدسی و در هر دو طرف آن واقع شود، می‌توانیم نقاط تصویر را از معادله (12) پیدا کنیم.

$$\frac{1}{600} + \frac{1}{q} = \frac{1}{100}$$

$mm = 120$ mm و $mm = 200$ mm به همین ترتیب، سایر فواصل تصویری به ترتیب عبارت‌اند از $q = \infty$.

- جالب توجه آن است که هرگاه $P = \infty$ آنگاه $f = q$ هر چه کاوش یابد بله

طور مثبت افزایش می‌یابد تا اینکه $f = P$ و از آن به بعد q منفی است. می‌توانید از نظر کمی این مطلب

را با یک عدسی کوژ ساده و یک چراغ الکتریکی کوچک بررسی کنید، احتمالاً لامپ «پرشدتی» که در

چراغ ماشین به کار می‌رود بسیار مناسب است. تا آنجا که ممکن است دور از چشم‌های قرار بگیرند، تصویر

روشنی از این چشم‌های را روی ورقه کاغذ سفیدی بیفکنید، باید قادر باشید لامپ را کاملاً واضح ببینید و

نه به صورت یک تصویر مات. آن فاصله تصویر تقریباً برابر S می‌شود. حال عدسی را به سوی S حرکت

دهید و q را چنان تنظیم کنید که تصویر واضحی تشکیل شود. مطمئناً افزایش خواهد یافت. هر چه

$\rightarrow f$ ، تصویر روشنی از رشتہ می‌تواند فقط روی پرده‌ای که فاصله آن در حال افزایش است، افکنده

شود. به ازای $f < P$ ، درست در جایی که دورترین دیوار مخروط پرتوهای واگراینده را قطع می‌کند،

یک تصویر مات وجود دارد – این تصویر مجازی است.

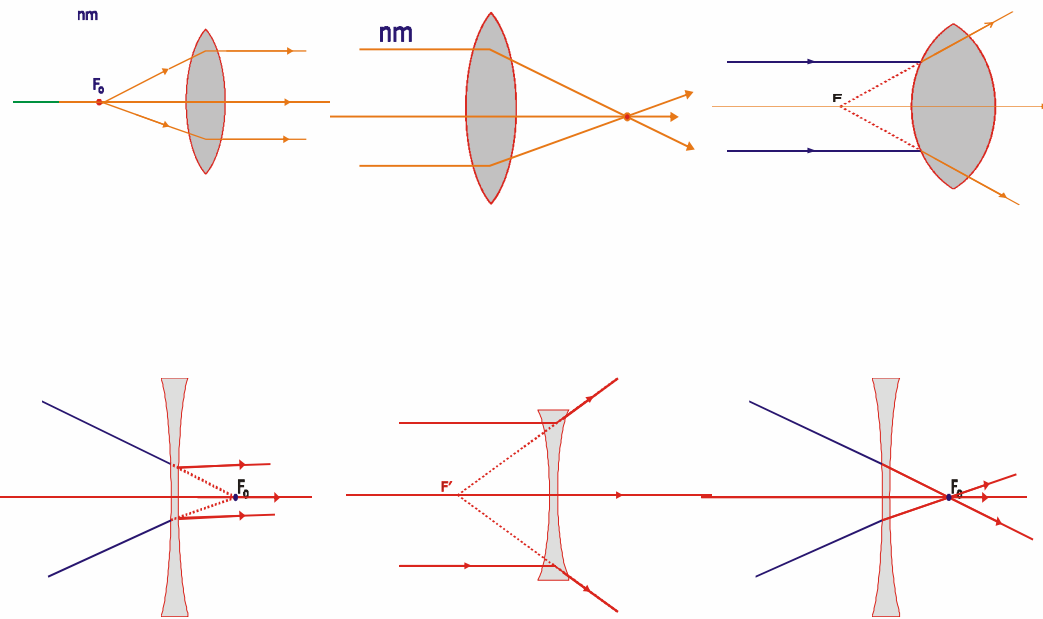
شكل 10 گوشه‌ای از حالاتی را که به طور تحلیلی از طریق معادله (11) توضیح داده شد، به طور

تصویری جمع‌بندی می‌کند. ملاحظه می‌کنید که اگر یک عدسی با ضریب شکست n_1 در محیطی با

ضریب شکست n_m باشد:

$$\frac{1}{f} = (n_{Im} - 1) \left(\frac{1}{R_1} - \frac{1}{R_2} \right) \quad (13)$$

$$n_{Im} = \left(\frac{n_1}{n_m} \right)$$



شکل 10. فاصله‌های کانونی در عدسی‌های همگرا و واگرا

فاصله‌های کانونی در شکل 10 الف و ب مساوی‌اند زیرا در هر طرف عدسی محیط واحدی وجود

دارد. از آنجا که $n_I > n_m$ ، نتیجه می‌شود که $f > 1/n_{Im}$. در هر دو حالت، $R_1 > 0$ و $R_2 < 0$ ، به طوری

که هر فاصله کانونی مثبت است. در (الف) یک شیء حقیقی و در (ب) یک تصویر حقیقی داریم. در (ج)

$n_I > n_m$ و در نتیجه $f < 0$ است. در (د) و (ه)، $n_I < 1$ ، ولی $R_1 < 0$ و $R_2 > 0$

بنابراین f دوباره منفی است و جسم در یک حالت و تصویر در حالت دیگر، مجازی‌اند. آخرین حالت نشان

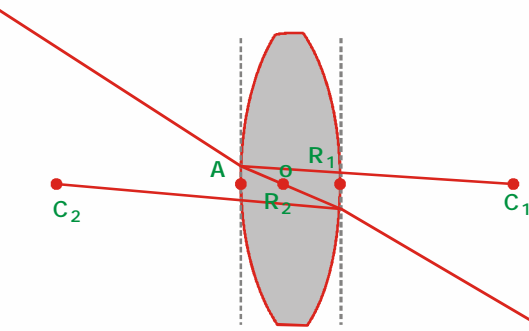
می‌دهد که $n_I < 1/n_{Im}$ و از آنجا یک $f < 0$ به دست می‌آید.

توجه کنید که در هر مورد به ویژه مناسب آن است که پرتوی از مرکز عدسی رسم کنیم که، چون

این پرتو بر هر دو سطح عمود است، منحرف نمی‌شود.

یک پرتو پیرا محوری خارج از محور، آن طور که در شکل 11 نشان داده شده است، در نظر

می‌گیریم. این پرتو، موازی با راستای فروودی آن از عدسی خارج می‌شود.



تأکید می کنیم که تمامی این گونه پرتوها از نقطه‌ای که مرکز نوری عدسی، O ، نامیده می‌شود خواهند گذشت.

برای مشاهده این مطلب، دو صفحه موازی که هر کدام در یک طرف عدسی و در نقاط A و B بر آن مماس‌اند، رسم می‌کنیم. این کار با انتخاب دو نقطه A و B به طوری که شعاع‌های $\overline{AC_1}$ و $\overline{BC_2}$ خود

موازی باشند، به آسانی انجام شدنی است. می‌خواهیم نشان دهیم پرتو پیرا محوری که \overline{AB} را می‌پیماید، از راستایی که به عدسی وارد می‌شود در همان راستا هم آن را ترک می‌کند. از نمودار روشن است که مثلث‌های BOC_2 و AOC_1 ، به معنی هندسی متشابه‌اند و بنابراین اضلاع آنها با هم متناسب

است. پس $|R_1|(\overline{OC_2}) = |R_2|(\overline{OC_1})$ و از آنجا که شعاع‌ها ثابت‌اند، محل O ثابت است و به A و B بستگی ندارد.

همان‌طوری که پیشتر دیدیم پرتویی که از یک محیط محدود به صفحه‌های موازی بگذرد به طور خراشان جایه‌جا می‌شود، ولی انحراف زاویه‌ای نخواهد داشت. این جایه‌جایی با ضخامت متناسب است که

برای عدسی نازک چشم پوشیدنی است. بنابراین، پرتوهایی را که از O می‌گذرد می‌توان به صورت خطوط راست رسم کرد. معمول است که در هنگام بررسی عدسی‌های نازک فقط نقطه O را در نیمة راه بین رأس‌ها قرار می‌دهند.